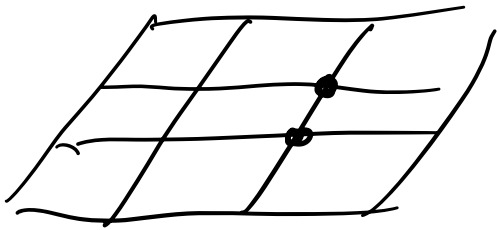


obs

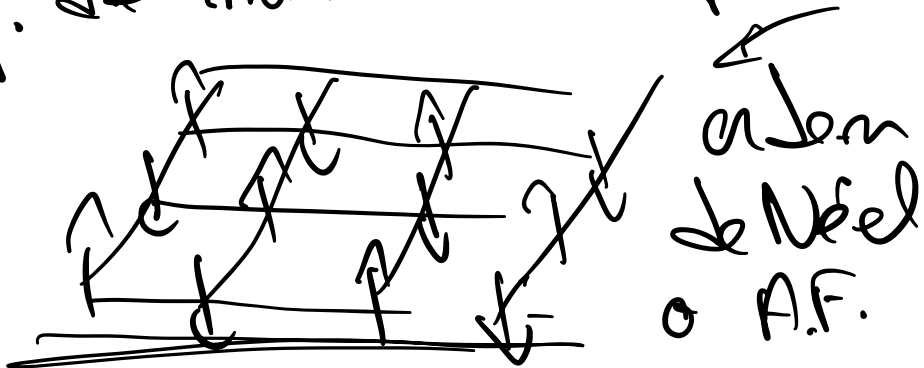
el modelo de Ising  
Antiferromagnético (AF)



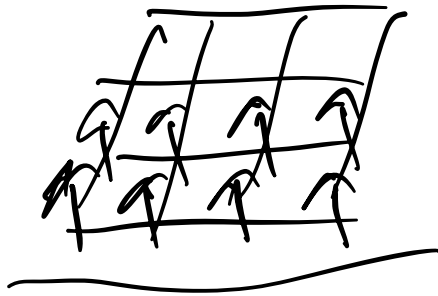
$$H = J \sum_{\langle ij \rangle} \sigma_i \sigma_j$$

$$J > 0$$

Config. de mínima energía

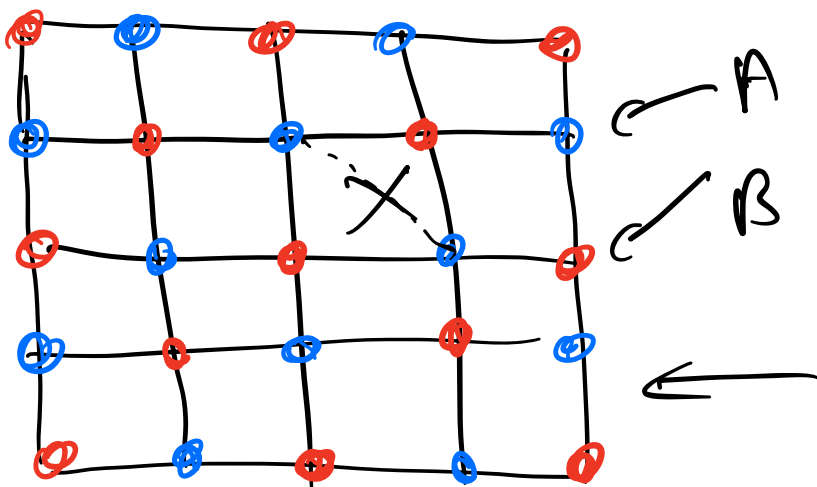


en oposición al orden Fero



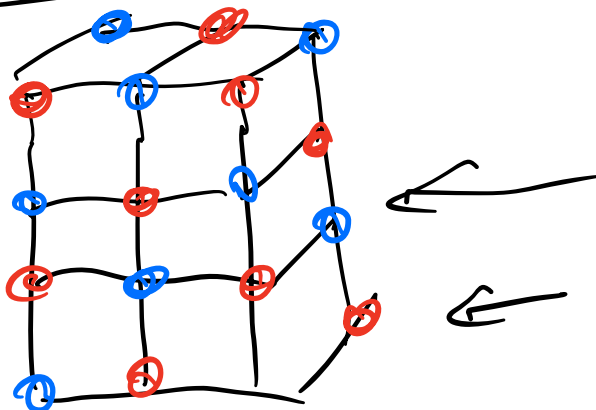
Def: una red es bipartita si se puede dividir en 2 subredes A y B tq todo nodo en A esta conectado solo con nodos en B.

ejemplo:

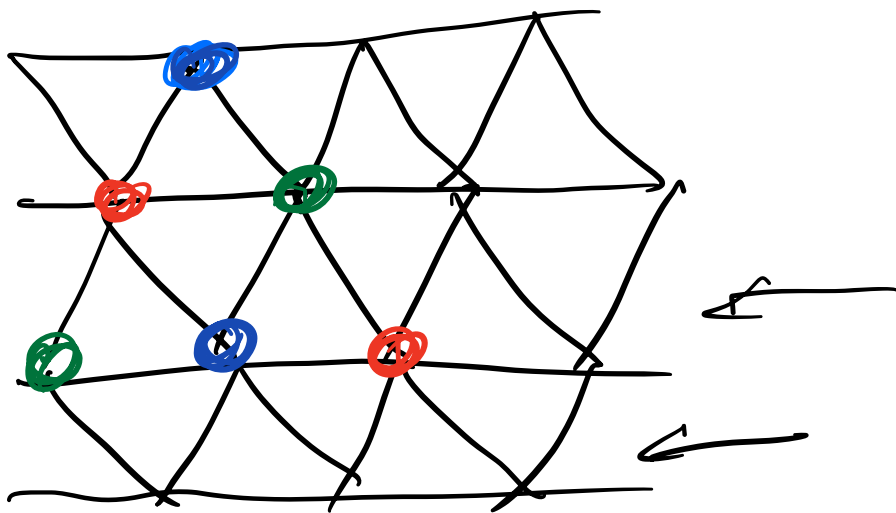


otro ejemplo

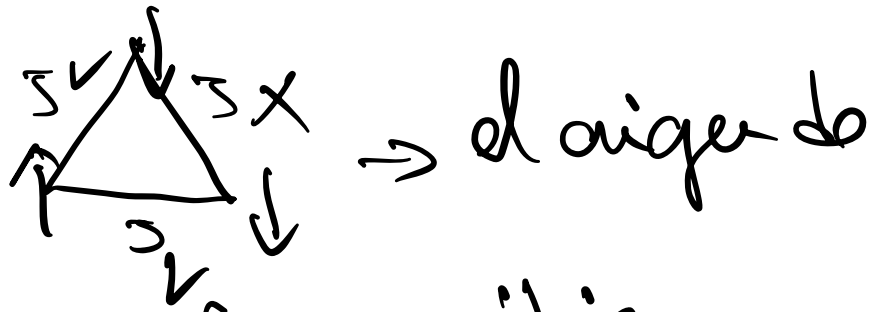
red cúbica



Contrario ejemplo:



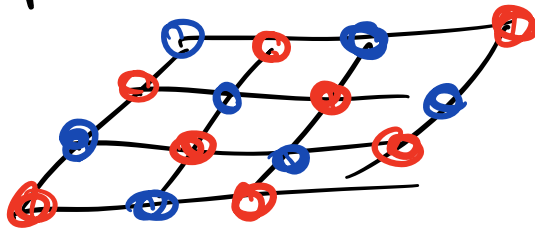
⇒ frustración !



la frustración magnética.

obs por las redes bi-partitas:

los modelos Ferro y A.F. son equivalentes.



$$H_{\text{Ferro}} = -J \sum_{\langle i,j \rangle} \sigma_i \sigma_j \quad \leftarrow \quad J > 0$$

$$H_{\text{AF}} = J \sum_{\langle i,j \rangle} \sigma_i \sigma_j \quad \leftarrow \quad J > 0$$

Cambio de variable

$$\sigma_i \rightarrow \tilde{\sigma}_i \in \pm 1$$

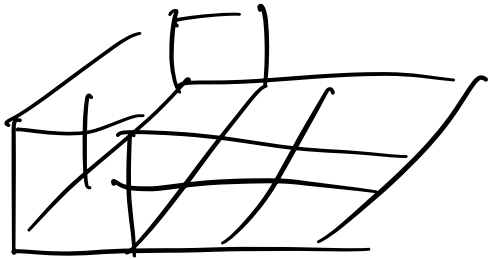
$$\tilde{\sigma}_i = \begin{cases} \sigma_i & i \in A \quad \bullet \\ -\sigma_i & i \in B \quad \bullet \end{cases}$$

$$H_{AF} = \sum_{\langle ij \rangle} \sigma_i \sigma_j \rightarrow \sum_{\langle ij \rangle} \tilde{\sigma}_i \tilde{\sigma}_j$$

↑  
" H Func.

obs únicamente para las  
redes bi-partitas.

# El Modelo de Heisenberg



↑ sitio "i" hay  
 $\vec{S}_i$ ,  $\vec{S}_i \cdot \vec{S}_j = 1$  vector de 3  
componentes unitario.

$$H = - \sum_{i,j} J_{ij} \vec{S}_i \cdot \vec{S}_j$$

grupo de simetría :  $O(3)$   
= grupo de matrices de  $\mathbb{R}$

$$M^T M = \mathbb{1}_{3 \times 3}$$

obs  $(\det A)^2 = 1$

$$\det A = \pm 1$$

Subgrupo:  $SO(3) \subset O(3)$

$\rightarrow$  las matrices de rotación

$$R_{3 \times 3}, R^T R = I_{3 \times 3}$$

$$\times \boxed{\det R = 1}$$

ejemplo de  $A$  tal que  $A^T A = I$

$$\times \underline{\det A = -1}$$

$$\underline{A} = \begin{pmatrix} -1 & 0 & 0 \\ 0 & -1 & 0 \\ 0 & 0 & -1 \end{pmatrix}$$

$O(3)$  o  $SO(3)$  son grupos continuos  
 $\uparrow$  grupo de Lie

→ campo magnético

$$H = - \sum_{i,j} J_{ij} \vec{S}_i \cdot \vec{S}_j - \underbrace{\vec{h} \cdot \sum_i \vec{S}_i}_{\text{campo magnético}}$$

obs si  $\vec{h} \neq \vec{0}$  la simetría  $O(3)$

rot → simetría rotacional  $O(2)$

$\vec{S}_i \rightarrow R \vec{S}_i$   $R$  es una rotación  
alrededor de  $\vec{h}$ .

el modelo para los vecinos

$$H = -J \sum_{\langle i,j \rangle} \vec{S}_i \cdot \vec{S}_j$$

si  $J > 0 \rightarrow$  ferrom.  
↑



obs si la red es bipartita

$$H_{\text{Furo}} \longleftrightarrow H_{\text{AF}}$$

$$\boxed{\begin{array}{l} \vec{S}_i \rightarrow \vec{S}_i' = \begin{cases} S_i & \text{si } i \in A \\ -S_i & \text{si } i \in B \end{cases} \end{array}}$$

obs esta transformación  
 se puede hacer en física clásica.  
 pero NO se puede hacer en  
 Mecánica Cuántica.

porque

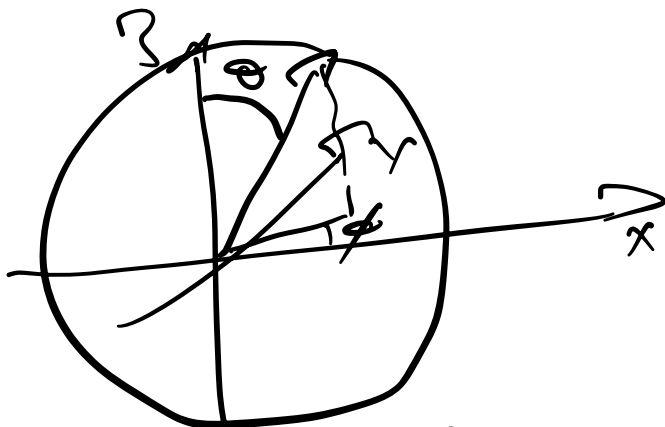
$$\boxed{[S_j^x, S_j^y] = i\hbar S_j^z}$$

incompatible con el cambio  $\vec{S} \rightarrow \vec{S}'$

$$Z(\beta, h) = \int \prod_j d^2 \vec{s}_j e^{-\beta H(\vec{s})}$$


---

aqui  $\int \prod_j d^2 \vec{s}_j = \prod_j \int$



$$\int d^2 \vec{s}_j = \int_0^\pi \int_0^{2\pi} \sin \theta_j d\theta_j d\phi_j$$

$$M_i = \frac{1}{Z} \int \prod_j d^2 \vec{s}_j e^{-\beta H} s_i$$

$$M = \sum_i M_i = \frac{1}{Z} \int \prod_j d^2 \vec{s}_j e^{-\beta H} \sum_i s_i$$


---

$$\Gamma^a = \frac{1}{\beta} \frac{\partial}{\partial h^a} \ln Z(h)$$

$$a = x, y, z$$

funciones de correlación:

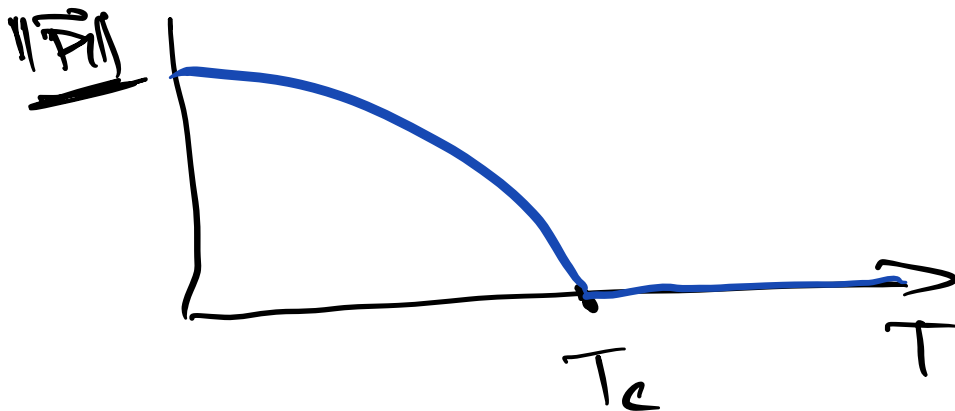
$$\langle \vec{S}_i \cdot \vec{S}_j \rangle$$

a la concha  $\langle \vec{S}_i \cdot \vec{S}_j \rangle_c$

$$\langle \vec{S}_i \cdot \vec{S}_j \rangle = \frac{\langle \vec{S}_i \rangle \cdot \langle \vec{S}_j \rangle}{\dots}$$

transición de fase:

$$D \geq 3$$



# Modelo "xy"

$$H = - \sum_{i,j} J_{ij} \overline{S}_i \cdot \overline{S}_j$$

$$\text{oper. : } \overline{S}_i = \begin{pmatrix} S_i^x \\ S_i^y \end{pmatrix}$$

→ simetría  $O(2)$

$$SO(2) \subset O(2)$$

↑  
rotaciones en 2-D

$$R = \begin{pmatrix} \cos \alpha & \sin \alpha \\ -\sin \alpha & \cos \alpha \end{pmatrix}$$

re-escribir con un "campo" complejo

$$\psi_j = S_j^x + i \underset{\substack{\uparrow \\ -i \cdot}}{S_j^y}$$

$$H = - \sum_{i,j} J_{ij} \vec{r}_i \cdot \vec{r}_j$$

$$SO(2) \leftrightarrow U(1) = \{z \neq 0 \mid |z|=1\}$$

$$SO(2) \quad \vec{S}_j \Rightarrow R \vec{S}_j$$

$$R = \begin{pmatrix} \cos \alpha & \sin \alpha \\ -\sin \alpha & \cos \alpha \end{pmatrix} \in SO(2)$$

$$\psi_j \rightarrow e^{i\alpha} \psi_j$$

$\underbrace{\quad}_{U(1)}$

Sistemas físicos:

\* Magnéticos. Campo cristalino que fuerza a los momentos magnéticos a estar todos en un mismo plano.

o' modelos Heisenberg + H.  
 → la transición metal-superconductor

H<sub>BCS</sub> =

$$\sum_{\vec{k}, \sigma = \pm 1} \epsilon(\vec{k}) C_{\vec{k}, \sigma}^\dagger C_{\vec{k}, \sigma}$$

$$+ \sum_{\vec{n}, \vec{n}'} V(\vec{n}, \vec{n}') C_{\vec{n}\uparrow}^\dagger C_{\vec{n}\downarrow}^\dagger C_{\vec{n}'\uparrow} C_{\vec{n}'\downarrow}$$

↑  
potencial atractivo.

Superconductividad

$$\langle C_{\vec{k}\uparrow} C_{-\vec{k}\downarrow} \rangle \neq 0$$

H<sub>BCS</sub> tiene la simetría U(1)

→ U(1) espontáneamente rota

$$\forall \vec{k}, \sigma = \uparrow, \downarrow$$

$$\left\{ \begin{array}{l} C_{\vec{k}, \sigma} \rightarrow e^{i\alpha} C_{\vec{k}, \sigma} = C_{\vec{k}, \sigma} \\ C_{\vec{k}, \sigma}^\dagger \rightarrow e^{-i\alpha} C_{\vec{k}, \sigma}^\dagger = C_{\vec{k}, \sigma}^\dagger \end{array} \right.$$

\* Superfluides (par He<sup>4</sup>)

$$H = \sum_{\vec{k}} \epsilon(\vec{k}) b_{\vec{k}}^\dagger b_{\vec{k}}$$

$$+ U_0 \sum_{\vec{k}_1, \vec{k}_2, \vec{k}_3, \vec{k}_4} b_{\vec{k}_1}^\dagger b_{\vec{k}_2}^\dagger b_{\vec{k}_3} b_{\vec{k}_4} \delta(\vec{k}_1 + \vec{k}_2 - \vec{k}_3 - \vec{k}_4)$$

$$\rightarrow U(1) \quad \forall \vec{k} \rightarrow 1$$

$$b_{\vec{k}} \rightarrow e^{i\alpha} b_{\vec{k}}$$

$$b_{\vec{k}}^\dagger \rightarrow e^{-i\alpha} b_{\vec{k}}^\dagger$$

Condensación de B.E.

$\langle b_{\vec{k}=\vec{0}} \rangle \neq 0$   
 $\uparrow$   $\uparrow$   
de  $v(i)$ .  $\uparrow$   $\uparrow$   $\uparrow$   $\uparrow$   $\uparrow$   
Amplitud espontánea

---

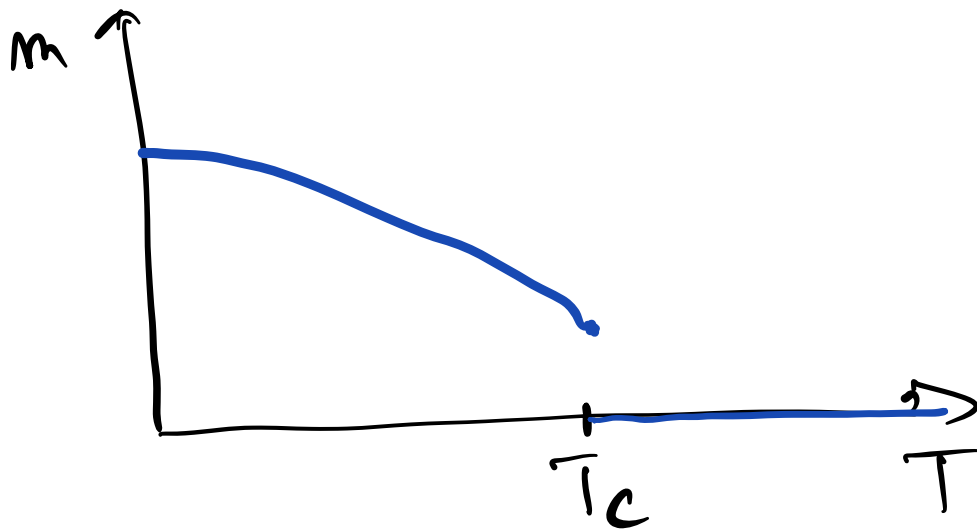
Transiciones de 1er, 2o etc orden

---

Nenio orden

1er orden

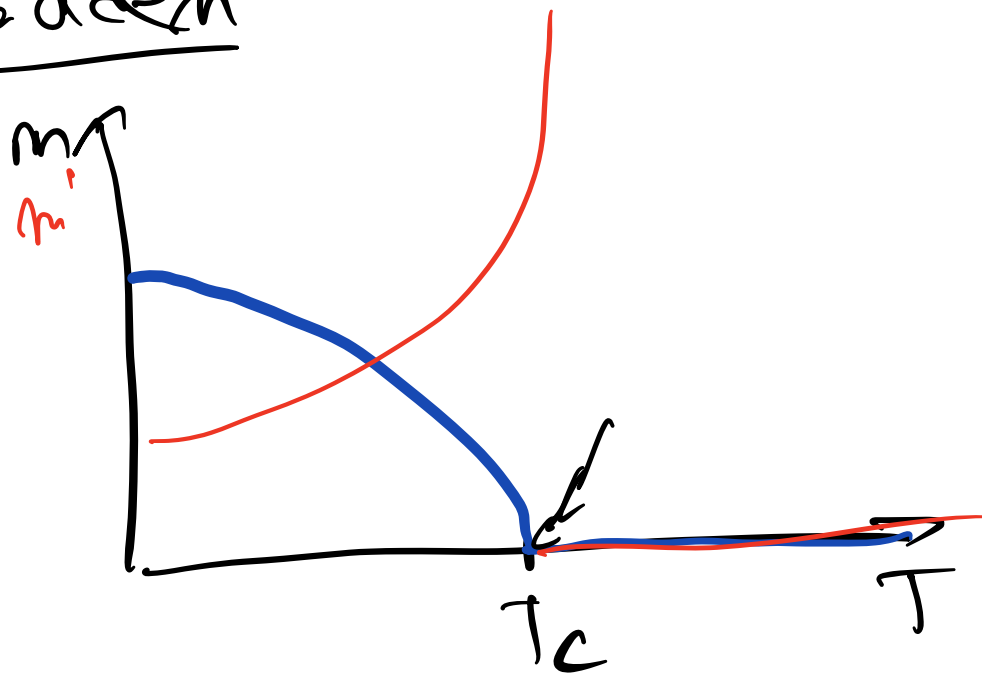
$m = |m| \cos \theta$   
 $= \|\vec{m}\| \cos \theta$   
etc.





$m(T)$  es discontinua.  
 en este caso  $f(T)$  no diverge  
 cuando  $T \rightarrow T_c$

2da. parte



$m(T)$  es continua, pero  
 su primera derivada es dis.

transición de Néel de orden

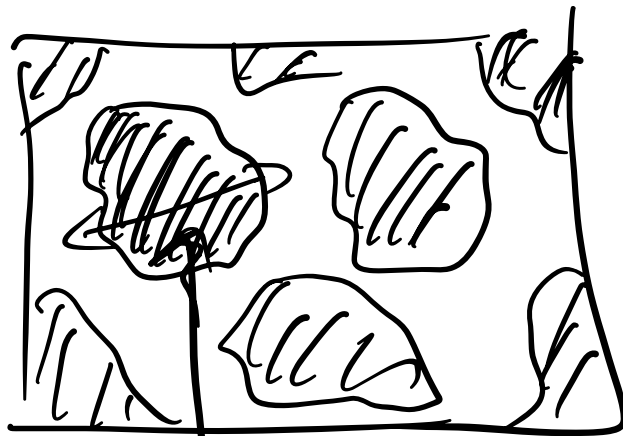
$m(T), m'(T), \dots, m^{(n-2)}(T)$  son continuas

pero  $m^{(n-1)}(T)$  es discontinua

para tales transiciones es adn

2 ~~en~~ más veces  $\int_{T \rightarrow T_c} \rightarrow \infty$

→ el sistema es invariante de escala  $n \cdot T = T_c$



$\sigma = +1 \rightarrow$  blanco

$\sigma = -1 \rightarrow$  Negro

para  $T = T_c$ , hay dominios de todos los tamaños  
→ Fractal.